

# Introdução e motivação para a pesquisa em redes neurais de Lyapunov

Rodrigo Fill  
Report #1



GRUPO  
TURING





Grupo Turing

# Introdução e motivação para a pesquisa em redes neurais de Lyapunov

25 de novembro de 2020

## 1 Introdução

Análise de estabilidade consiste na verificação se um sistema é estável. Por exemplo, se um sistema de refrigeração de uma usina nuclear, não pode nunca escapar de um determinado ponto em termos de aparatos elétricos e digitais. Se ele pode convergir para um ponto de interesse, se ele pode prever a eficiência de uma planta, ou se existe uma predisposição de controle e disponibilidade de uma doença infecciosa tendo um bom modelo desta e sabendo disso, até mesmo para respostas ilimitadas. Convergência de respostas consiste em analisar de forma precisa seus limites, bifurcações, atratividade e estabilidade primária para projetos de controle de sistemas dinâmicos. Sabendo, por exemplo, qual a velocidade de propagação de uma doença, uma decisão pode levar a uma análise não linear de uma planta, exequível, enquanto uma outra, aparentemente é muito simples, mas não limitada os casos, pode levar a uma análise linear capaz de satisfazer as necessidades do projeto.

Uma planta de resposta linear pode apresentar diversos comportamentos. Mas para que os termos tenham mais sentido característicos dos sistemas lineares, como é relevante apresentar uma definição formal de cada um deles.

- Múltiplos equilíbrios
- Ciclos limites
- Caos
- Bifurcações

### 1.1 Múltiplos equilíbrios:

Sistemas dinâmicos lineares apresentam sempre apenas um ponto de equilíbrio, este

A correta análise de sistemas dinâmicos pode ser estável, instável, assintoticamente estável, assintoticamente instável. Já sistemas não lineares podem apresentar mais de um ponto de equilíbrio, com diferentes dinâmicas. Versar sobre a estabilidade de um sistema, que consiste na região em que também garantir a segurança de um aparelho que exerce influência superior aos outros e todos que daquele dependem, como o piloto, assim ao estar naquele domínio a

dinâmica do modelo está sujeita à sua influência.

## 1.2 Ciclos Limites:

Ciclos limites são oscilações estáveis internamente, seriam um alho em duas dimensões, logo em duas dimensões limitações atreladas a esta simplificação, qual- de um ponto de equilíbrio. Assim como os pontos, os ciclos limites podem ser locais ou globais. Não há formas de inferir a instáveis, possuem um domínio de atração e globalidade das conclusões. O teorema de modificam de forma significativa a dinâmica do modelo.

não linear. Assim, de regra geral, antes de linearizar qualquer sistema deveria ser feita uma verificação pelo teorema de Hartman-Grobman para verificar se o mesmo pode ser linearizado.

Como a análise deste modo é atrelada

ao sistema linearizado, agora cientes das limitações atreladas a esta simplificação, qualquer conclusão proveniente deste teorema é apenas local. Não há formas de inferir a globalidade das conclusões. O teorema de Hartman-Grobman é independente das seguintes hipóteses:

## 1.3 Caos:

Um sistema dinâmico apresenta uma alta sensibilidade à variação de parâmetros, ou seja, uma simulação em uma condição inicial, ao ser ressimulada variando minimamente um

$$1. \dot{x} = f(x); f \in C^1; f: \mathbb{R} \rightarrow \mathbb{R}$$

$$2. \bar{x}: \text{Ponto de equilíbrio e } A = [f'(\bar{x})]$$

$$3. R[\lambda_i] \neq 0$$

parâmetro, causa uma grande variação na resposta do sistema. Um diferente teorema enuncia que quando um parâmetro, causa uma grande variação na resposta do sistema satisfaz as condições acima ele pode posta qualitativa do mesmo. Vale dizer que ser linearizado sem perder generalidade, visto que os fluxos do sistema não linear e do sistema linear são suficientemente próximos ao ponto de equilíbrio analisado, sendo a influência de outros componentes podem ser ignorados. Vale ressaltar que caso a parte real dos autovalores da matriz jacobiana sejam nulos, não é possível linearizar o sistema sem perdas significativas, logo nenhuma conclusão pode ser obtida para a dinâmica não linear. Mas a estabilidade local é robusta, é necessário ter condições de conclusões globais para aumentar a robustez, consequentemente a segurança do sistema em questão. Assim enunciamos o método direto de Lyapunov. Este consiste em uma generalização do conceito de energia de um sistema, e foi concebido desta forma. Intuitivamente é possível intuir que a energia de um sistema quando decrescente, gera uma estabilidade assintótica. Quando constante gera estabilidade, e, quando crescente, gera instabilidade. Em geral, e teoricamente, a função candidata teria uma forma de energia, mas isso não é tão simples, como veremos a seguir.

## 1.4 Bifurcações:

Bifurcações são alterações qualitativas na resposta de um sistema sujeita a alterações nos parâmetros. Alterações qualitativas são alterações em trajetórias, equilíbrios, ciclos-limites, etc. O diagrama de bifurcações é de extrema importância para compreensão e segurança do projeto.

Um diferente teorema enuncia que quando um parâmetro, causa uma grande variação na resposta do sistema satisfaz as condições acima ele pode posta qualitativa do mesmo. Vale dizer que ser linearizado sem perder generalidade, visto que os fluxos do sistema não linear e do sistema linear são suficientemente próximos ao ponto de equilíbrio analisado, sendo a influência de outros componentes podem ser ignorados. Vale ressaltar que caso a parte real dos autovalores da matriz jacobiana sejam nulos, não é possível linearizar o sistema sem perdas significativas, logo nenhuma conclusão pode ser obtida para a dinâmica não linear.

Mas a estabilidade local é robusta, é necessário ter condições de conclusões globais para aumentar a robustez, consequentemente a segurança do sistema em questão. Assim enunciamos o método direto de Lyapunov. Este consiste em uma generalização do conceito de energia de um sistema, e foi concebido desta forma. Intuitivamente é possível intuir que a energia de um sistema quando decrescente, gera uma estabilidade assintótica. Quando constante gera estabilidade, e, quando

## 2 Motivação

O estudo da estabilidade de sistemas dinâmicos pode ser feito de várias formas discretamente, a função candidata teria uma forma de energia, mas isso não é tão simples, como veremos a seguir.

Antes de avançar para o método em si é necessário relembrar algumas definições importantes a respeito de funções:

- Função localmente positiva definida:

$$V(x), V(x) : \mathbb{R} \rightarrow \mathbb{R}; \text{ é l.p.d.f} \Leftrightarrow \begin{cases} V(0) = 0 \\ V(x) > 0 \end{cases} ; \forall (x \neq 0) \in B$$

Em palavras, trata-se de uma função que, em uma dada região é nula na origem e positiva para todos os outros pontos.

- Função positiva definida:

$$V(x), V(x) : \mathbb{R} \rightarrow \mathbb{R}; \text{ é p.d.f} \Leftrightarrow \begin{cases} V(0) = 0 \\ V(x) > 0 \end{cases} ; \forall (x \neq 0) \in \mathbb{R}$$

Trata-se de uma função que, em todo o espaço de estados, é nula na origem e positiva para todos os outros pontos.

- Função localmente negativa definida:

$$V(x) \text{ é l.n.d.f} \Leftrightarrow -V(x) \text{ é l.p.d.f}$$

- Função negativa definida:

$$V(x) \text{ é n.d.f} \Leftrightarrow -V(x) \text{ é p.d.f}$$

Em posse dessas definições, é possível para exemplo, não é possível concluir que o ponto tir para o método direto de Lyapunov  $V(x)$  não é assintoticamente estável. Esse problema com derivadas parciais é corrigido por um teorema complementar que não será enunciado aqui. O segundo problema é que não existe uma forma direta de determinar a função de Lyapunov. Como dito, ela pode ser derivada de uma energia para o sistema, mas não há garantias que a obtenção desta forma resulte em uma boa função para análise.

- $V(x)$  é l.p.d.f;
- $\dot{V}(x)$  é l.n.s.d.f;

$\Rightarrow 0$  é localmente estável; Se  $\dot{V}(x)$  é l.n.d.f então  $0$  é localmente assintoticamente estável.

Desta forma, se encontrarmos uma função candidata  $V(x)$  localmente positiva definida com uma derivada localmente negativa semi-definida temos que a origem, lembrando que sempre queremos analisar a origem, se o ponto de equilíbrio não for na origem basta transladar, é estável. Se a derivada for localmente definida em torno a origem é localmente assintoticamente estável.

Dois grandes problemas pronunciados pelo método direto de Lyapunov. Primeiramente trata-se apenas de condições suficientes, mas não necessárias, de forma que se encontrar uma função de Lyapunov com a qual é possível concluir que o ponto é apenas estável, por

- $V(x)$  é p.d.f;
- $\dot{V}(x)$  é n.s.d.f;
- $\lim_{x \rightarrow \infty} V(x) = \infty$

origem é globalmente estável; Se  $\dot{V}(x)$  é n.d.f então a origem é globalmente assintoticamente estável.

Com isso fica evidente a motivação para a implementação de redes neurais de Lyapunov, os algoritmos de aprendizagem de máquina adaptados para encontrar funções de Lyapunov ótimas, de forma simples e rápida, garantindo robustez para a aplicação. Para entender melhor algumas aplicações, bem como dificuldades e a motivação como um todo, apresenta-se agora alguns exercícios sobre o tema.

### 3 Exercícios

For the following systems, find the equilibrium points and determine their stability. Indicate whether the stability is asymptotic, and whether it is global.

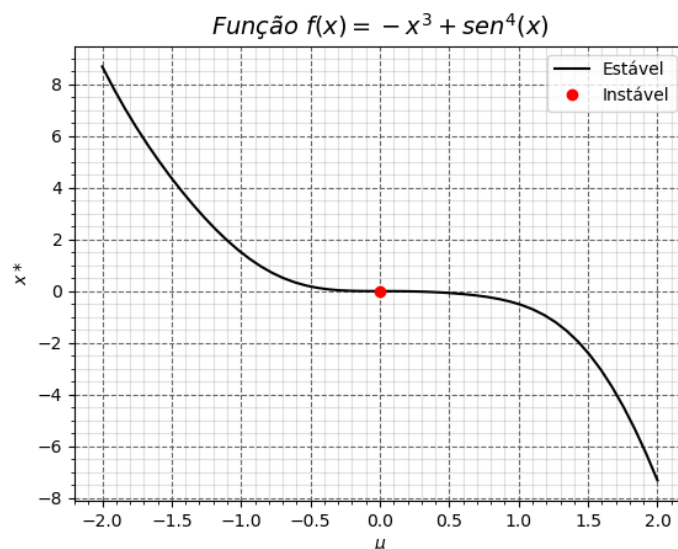
1.  $\dot{x} = -x^3 + \sin^4 x$
2.  $\dot{x} = (5 - x^2)$
3.  $\ddot{x} + x^5 + x^7 = x^2 \sin^8(x) \cos^2(3x)$
4.  $\ddot{x} + (x - 1)x^7 + x = \sin(x\pi/2)$

#### 3.1 Solução

Primeiro é necessário encontrar os pontos de equilíbrio do sistema descrito:

$$\dot{x} = 0 = -x^3 + \sin^4 x$$

Resolvendo numericamente a equação acima temos o seguinte gráfico:



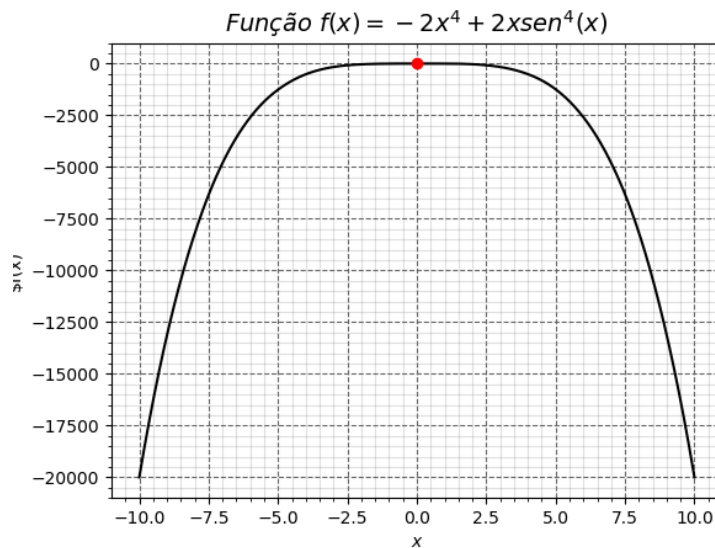
O gráfico indica a existência de um único ponto de equilíbrio com multiplicidade 3. Tomando uma candidata a função de Lyapunov dada por:

$$V(x) = x^2$$

Temos, portanto, que a  $V(x)$  é positiva definida e ilimitada. Sua derivada tem valor:

$$\dot{V}(x) = 2x \dot{x} = -2x^4 + 2x \sin^4(x)$$

Como o termo  $2x\sin^4(x)$  é sempre menor em módulo que o termo  $2x^4$ , e como este último tem um sinal negativo na frente, podemos dizer que a derivada de nossa candidata é negativa definida, veja a imagem abaixo.



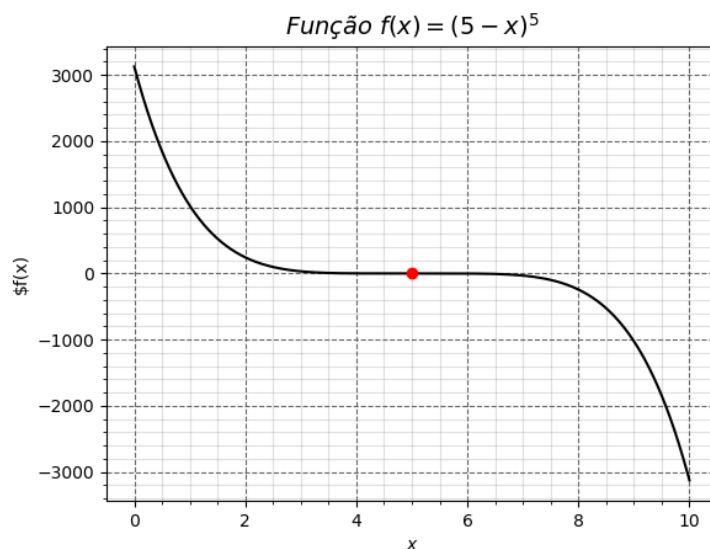
Assim pelo teorema de Lyapunov podemos dizer que a origem do sistema é globalmente assintoticamente estável.

## 3.2 Solução

Vamos iniciar a análise pela determinação dos pontos de equilíbrio do sistema descrito:

$$\dot{x} = 0 = (5 - x)^5$$

Não é complexo inferir da expressão acima que o único ponto de equilíbrio do sistema é  $x = 5$



Vamos tomar a seguinte candidata função de Lyapunov:

$$V(x) = (5 - x)^5$$

Esta função é positiva definida, vejamos o comportamento de sua derivada:

$$V(x) = 2(5 - x) \quad x = -2(5 - x)$$

Que é uma função negativa definida, e é nula na origem, nula em  $x = 5$  mas podemos transladar o ponto de equilíbrio para a origem, visto que o ponto de equilíbrio também é  $x = 5$  assim sabemos que o ponto globalmente assintoticamente estável.

### 3.3 Solução

Vamos começar a análise definindo os pontos de equilíbrio deste sistema, primeiro vamos fazer uma transformação de variáveis:

$$\begin{cases} \dot{x}_1 = x_2 \\ \dot{x}_2 = -x_2^5 + x_1^2(\sin^8(x_1)\cos^2(3x_1) - x_1^2) \end{cases}$$

Deste sistema vemos claramente, mais prova-se pelo MATLAB, que a origem é um ponto de equilíbrio. Vamos tentar encontrar algumas funções de Lyapunov por alguns diferentes métodos para explicar o equilíbrio do ponto. Tomando a seguinte forma:

$$V_1 = \frac{x_2^2}{2} + (1 - \cos(x_1))$$

Retorna a seguinte expressão para sua derivada:

$$\dot{V}_1 = x_2 \cdot \sin(x_1) - x_2 \cdot (x_2^5 + x_1^2 - x_1^2 \cdot \cos(3x_1)^2 \cdot \sin(x_1)^8)$$

Simulando essas expressões no MATLAB, afim de visualizar seu comportamento em torno do equilíbrio, vou limitar a visualização a uma pequena região torno do mesmo, 0,1 no eixo  $X_1$  e 0,1 no eixo  $X_2$ . Assim temos os seguintes gráficos:

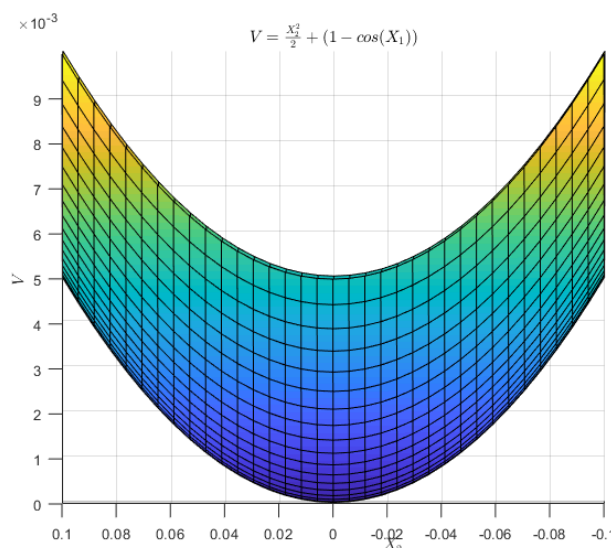


Figura 1: Gráfico de superfície de  $V$  em relação a  $x$

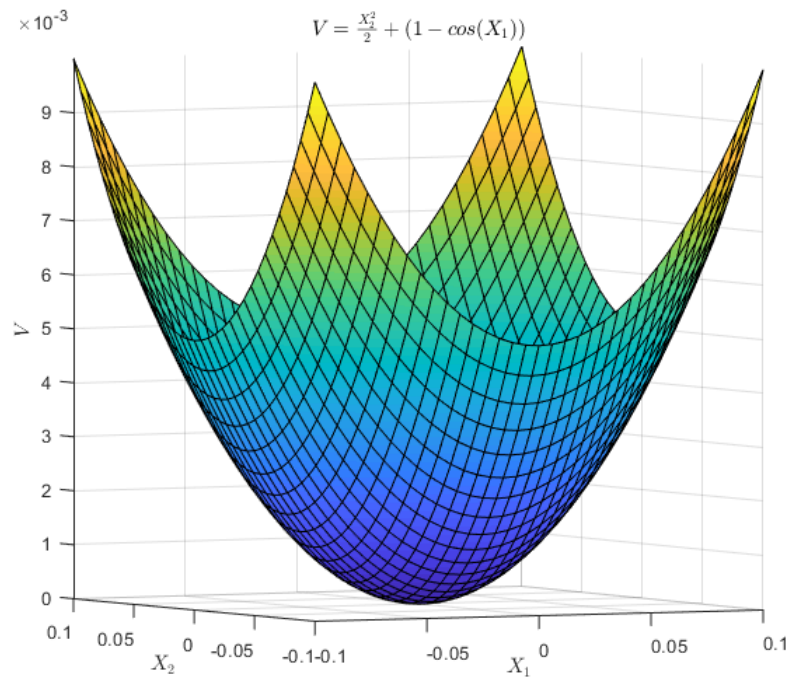


Figura 2: Gráfico de superfície de  $V$  em relação a  $x_1$  e  $x_2$

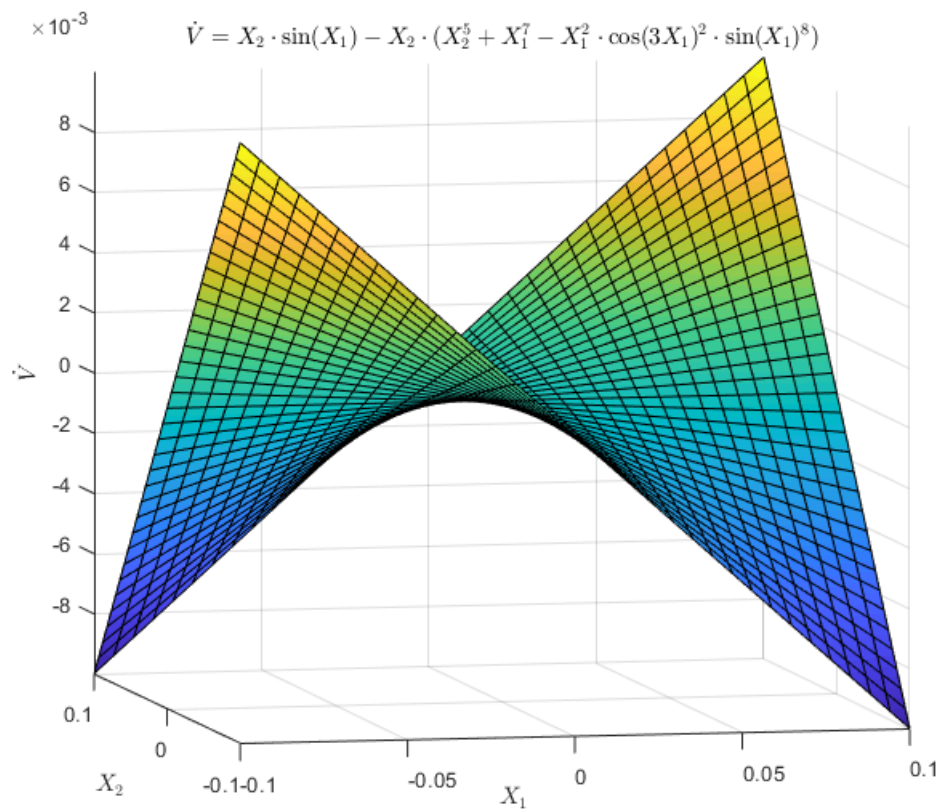


Figura 3: Gráfico de superfície de  $\dot{V}$  em relação a  $x_1$  e  $x_2$



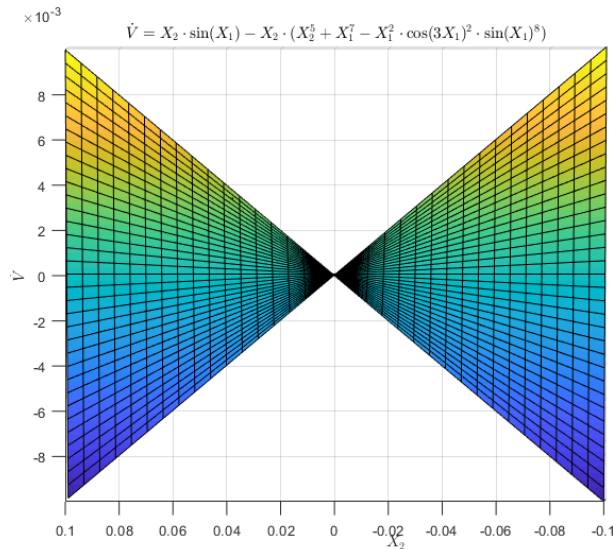


Figura 4: Gráfico de superfície de  $\dot{V}_1$  em relação a  $x_1$

Vemos que, claramente, apesar de não ser positiva definida para o intervalo analisado, sua derivada apresenta um comportamento que pode ser dito como negativo definido ou semi definido, de forma que este não ajuda na análise do sistema. Assim vamos buscar uma outra função

$$V_2 = x_1^2 + x_2^2$$

Sua derivada é:

$$\dot{V}_2 = 2x_1x_2 - 2x_1^7 - x_1^2 \cos(3x_1)^2 \sin(x_1)^8 + x_2^5$$

Assim, novamente simulando as expressões temos o seguinte resultado:

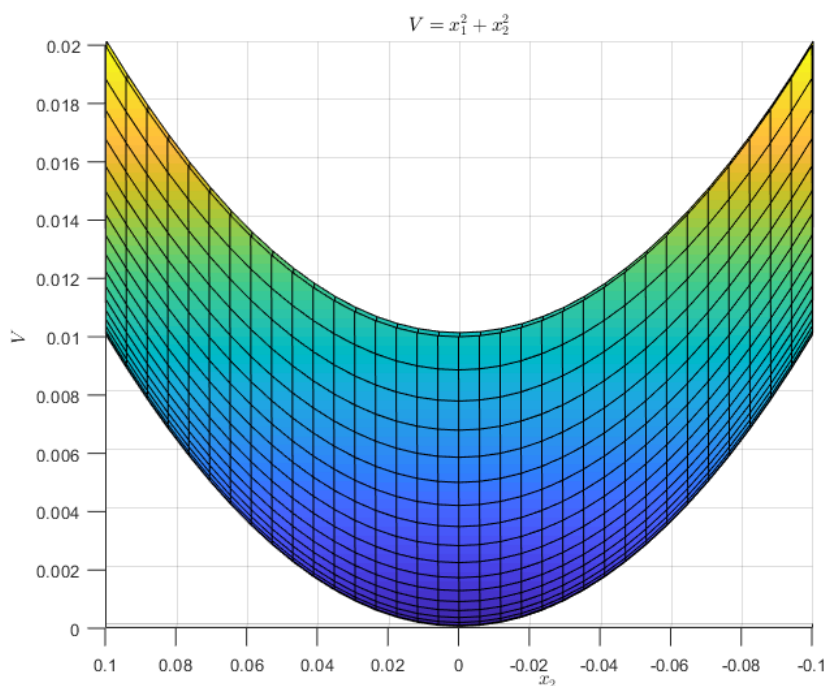


Figura 5: Gráfico de superfície de  $V$  em relação a  $x_1$

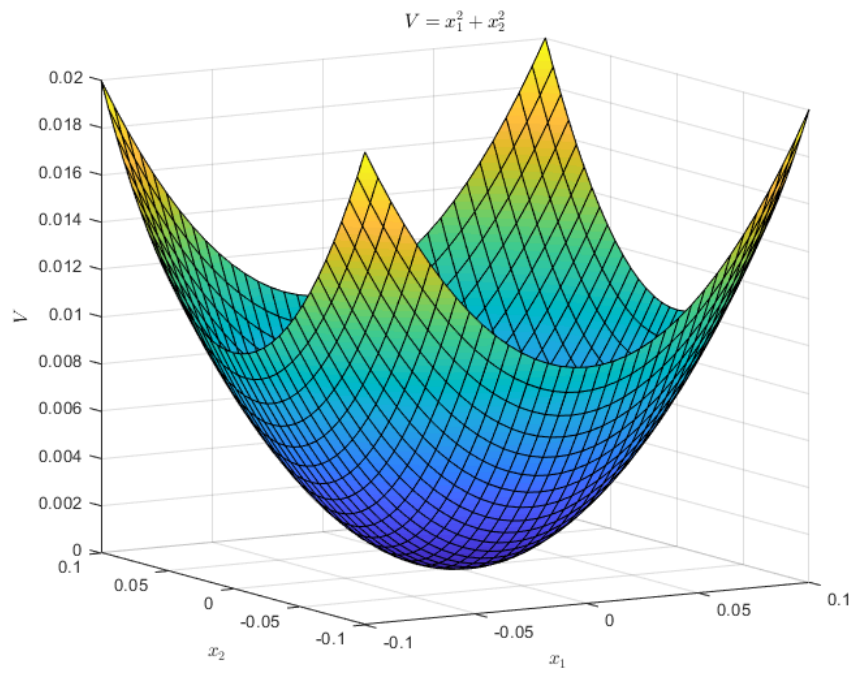


Figura 6: Gráfico de superfície de  $V$  em relação a  $x_1$  e  $x_2$

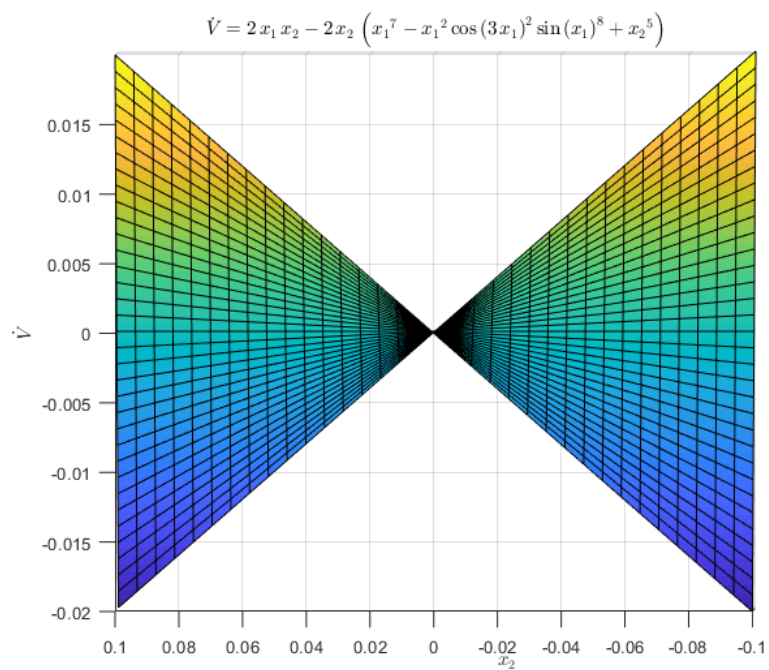


Figura 7: Gráfico de superfície de  $\dot{V}$  em relação a  $x_1$  e  $x_2$

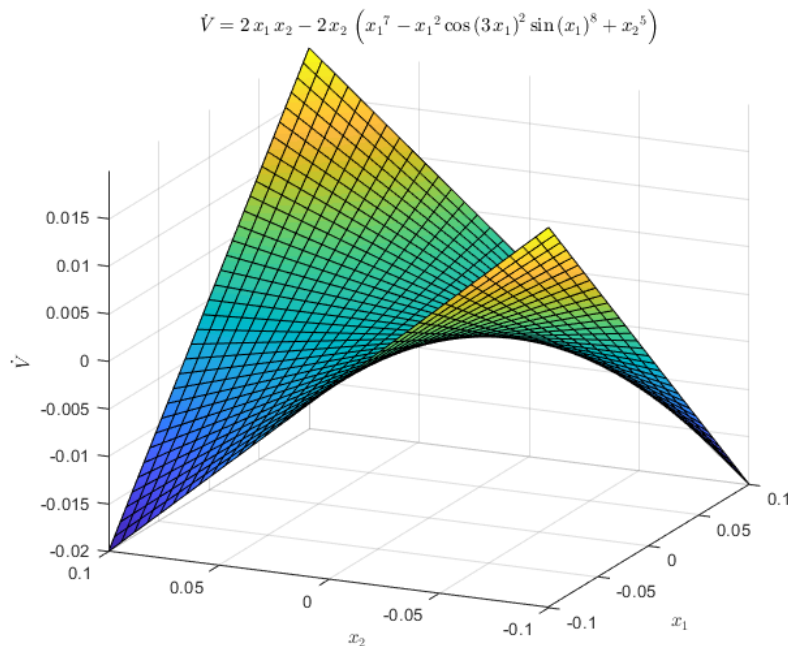


Figura 8: Gráfico de superfície de  $\dot{V}$  em relação a  $x_1$  e  $x_2$

Mais um vez similar ao anterior, igualmente impossível tirar alguma conclusão sobre o sistema visto que a função acima não satisfaz as condições do método direto de Lyapunov. Por fim, em uma última tentativa vamos escolher mais uma equação:

$$V_3 = \int_0^{x_1} -x_1^7 + x_1^2 \cos(3x_1)^2 \sin(x_1)^8 - x_2^5 dx_1 + \frac{x_2^2}{2}$$

Cuja derivada é:

$$\dot{V}_3 = -2x_2 - 5x_1x_2^4 - x_1^7 + x_1^2 \cos(3x_1)^2 \sin(x_1)^8 + x_2^5 - x_2 \left( \frac{83x_1^2 \cos(2x_1)}{512} - \frac{27x_1^2 \cos(6x_1)}{256} - \frac{27x_1^2 \cos(8x_1)}{256} - \frac{7x_1^2 \cos(10x_1)}{128} + \frac{x_1^2 \cos(12x_1)}{64} - \frac{x_1^2 \cos(14x_1)}{512} - \frac{31x_1^2}{256} \right) + x_2^5 + x_1^7$$

Ressimulando, sob as mesmas condições:

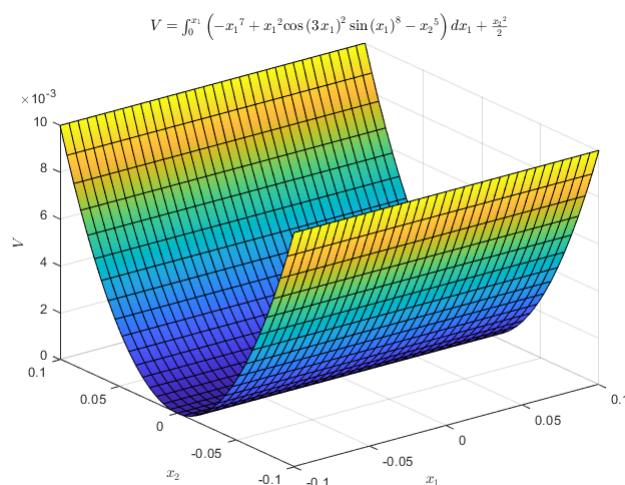


Figura 9: Gráfico de superfície de  $V$  em relação a  $x_1$  e  $x_2$



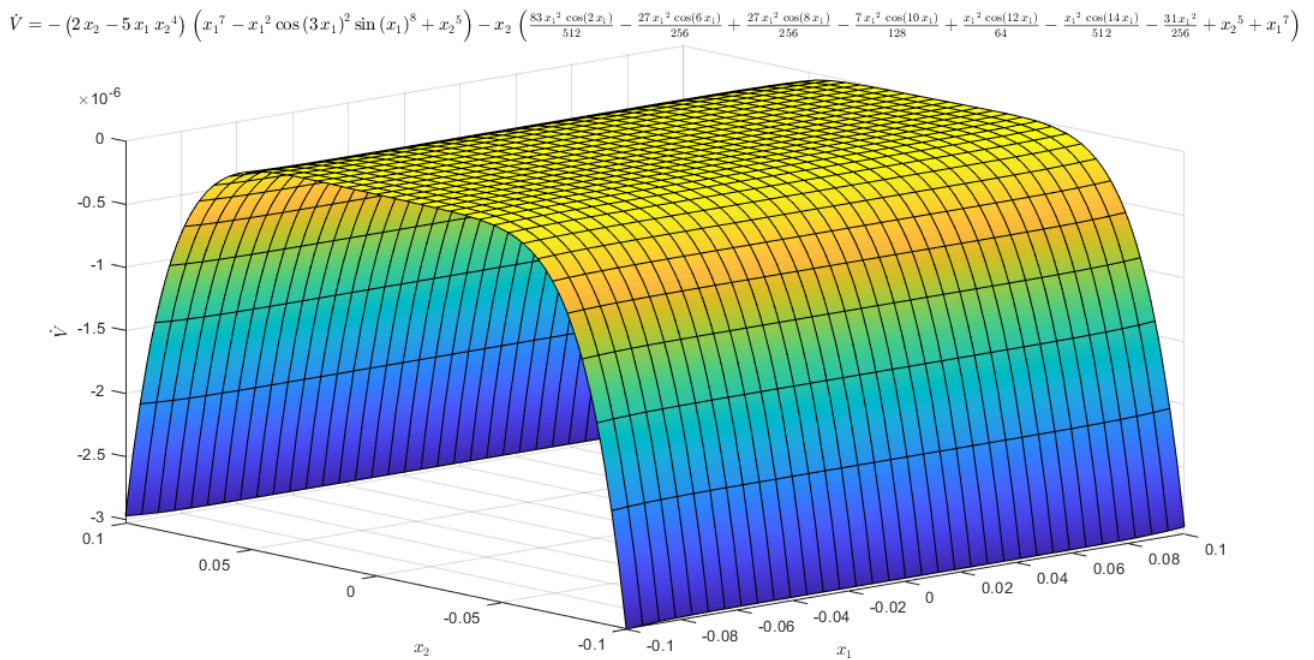


Figura 10: Gráfico de superfície de  $V_3$  em relação a  $x_1$  e  $x_2$

Neste caso o resultado é consideravelmente interessante, temos uma situação em que poderíamos tirar alguma conclusão sobre o sistema, mas infelizmente a função  $V_3$  é apenas positiva semi-definida, o que invalida a condição do teorema de Lyapunov.

Aqui apresentei apenas 3 resultados, mas posso afirmar que foram mais de 500 tentativas diferentes simuladas não em busca de alguma capaz de satisfazer os teoremas de Lyapunov e La Salle, infelizmente este não se mostrou eficaz para a análise da estabilidade do sistema.

Com a falha das propostas anteriores, vamos partir para uma análise linearizada do sistema, afinal ainda temos como aplicar os teoremas de Hartman-Grobman. Vejamos a matriz jacobiana

$$J = \begin{pmatrix} 0 & 1 \\ 2x_1 \cos(3x_1)^2 \sin(x_1)^8 - 7x_1^6 - 6x_1^2 \cos(3x_1) \sin(3x_1) \sin(x_1)^8 + 8x_1^2 \cos(3x_1)^2 \cos(x_1) \sin(x_1)^7 & 0 \end{pmatrix}$$

$$\Rightarrow J|_{x^*=(0,0)} = \begin{pmatrix} 0 & 1 \\ 0 & 0 \end{pmatrix} \Rightarrow \det(\lambda I - J) = \lambda^2 + 1 = 0 \Rightarrow \lambda = \pm i$$

Verificamos, portanto, que o sistema apresenta dois polos com parte real nula, não sendo possível a análise apenas pelo teorema de Hartman-Grobman. Assim, temos um sistema pelo qual não conseguimos afirmar nada das condições de ambos os métodos. Mas utilizando o poder da computação para simular as trajetórias não lineares com um solver do MATLAB:

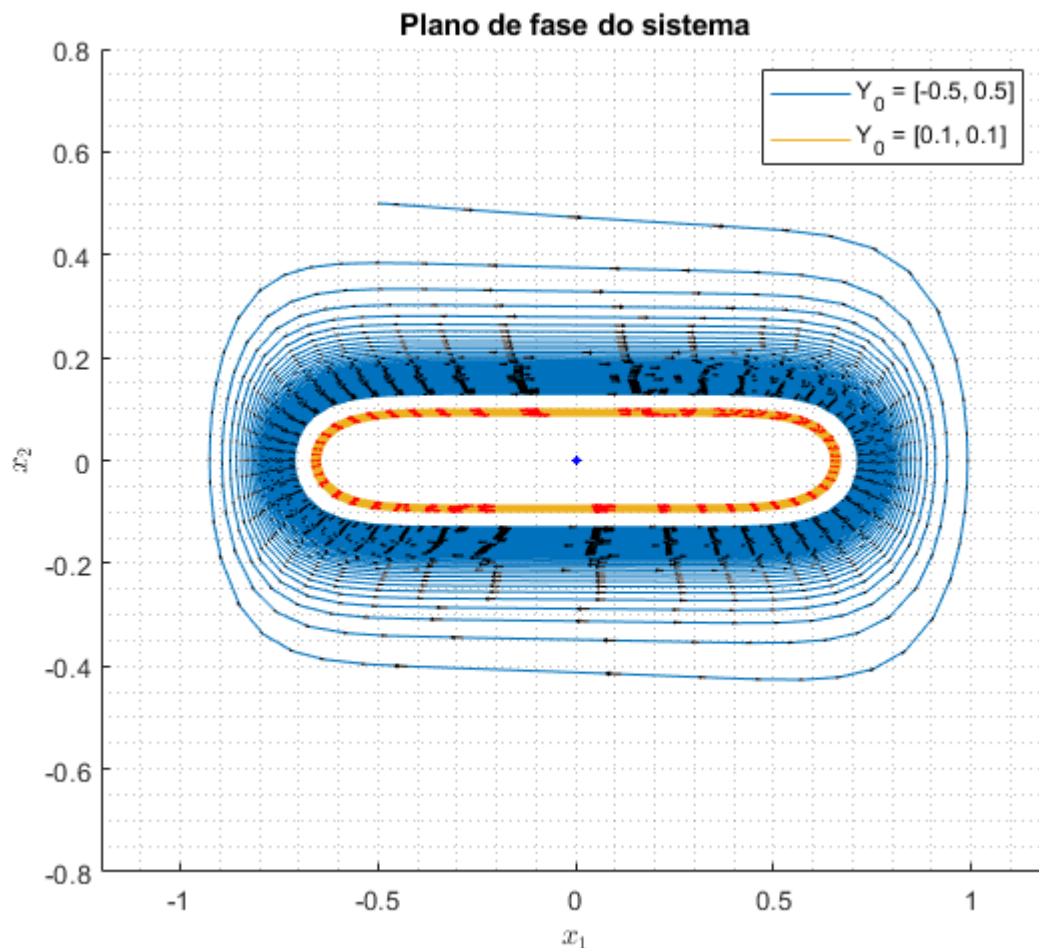


Figura 11: Plano de fase com velocidade de fase para o item 3

Assim podemos visualizar, de forma conclusiva, o comportamento do sistema (Eq. 0.1) que aparenta ser assintoticamente estável. A primeira simulação ele parecia ser um centro ou ciclo limite, mas dado o devido tempo de simulação  $t > 100000$  as trajetórias parecem tender ao equilíbrio. Na imagem acima simulei com um valor menor, para deixar mais evidente a convergência mas ainda tendo formas de órbita não algum tipo de pintura abstrata.

### 3.4 Solução:

Vamos, novamente, com a análise definindo os pontos de equilíbrio deste ultimo sistema, primeiro transformando as variáveis:

$$\begin{cases} \dot{x}_1 = x_2 \\ \dot{x}_2 = -(x_1 - 1)^2 x_2 - x_1 + \sin(x_1 \pi/2) \end{cases}$$

Deste sistema vemos claramente, mas também prova-se pelo MATLAB, que a origem é um ponto de equilíbrio. Entretanto, neste caso os pontos  $(1, 0)$  e  $(-1, 0)$  também são pontos de equilíbrio, logo a análise deve ser feita para 3 pontos distintos. Assim, para evitar ficar colocando diversos gráficos semelhantes apenas deslocando os pontos de equilíbrio para a origem, pretendo pular esta parte de estudo de funções de Lyapunov não reportando que testei diversas funções, para os 3 pontos, e, apesar de encontrar casos extremamente próximos das condições necessárias, como abaixo:

$$V = \frac{-\int_0^{x_2} \sin\left(\frac{\pi x_1}{2}\right) - x_1 - x_2(x_1 - 1)^2 dx_2}{0.58} + \int_0^{x_1} \sin\left(\frac{\pi x_1}{2}\right) - x_1 - x_2(x_1 - 1)^2 dx_1 - \frac{x_2^2}{2} - \frac{x_1^3}{2}$$

Retorna a seguinte expressão para sua derivada:

$$\dot{V} = x_1 - \sin\left(\frac{\pi x_1}{2}\right) + x_2^7(x_1 - 1)^2 - \frac{39x_1}{20} - \frac{92x_1}{17} + \frac{50 \cos\left(\frac{\pi x_2}{4}\right) \sin\left(\frac{\pi x_2}{4}\right)}{17} - \frac{39x_1^2}{20} + \frac{13x_1^3}{20} + \frac{75}{1} - x_2 \left[ \frac{39x_1}{20} + \frac{39x_1}{20} - \frac{39x_1 x_2}{10} - \frac{39 \cos\left(\frac{\pi x_1}{4}\right) \sin\left(\frac{\pi x_1}{4}\right)}{10} + \frac{39x_1^2 x_2}{20} + \frac{3x_1^2}{2} \right]!$$

Resultando na seguinte simulação:

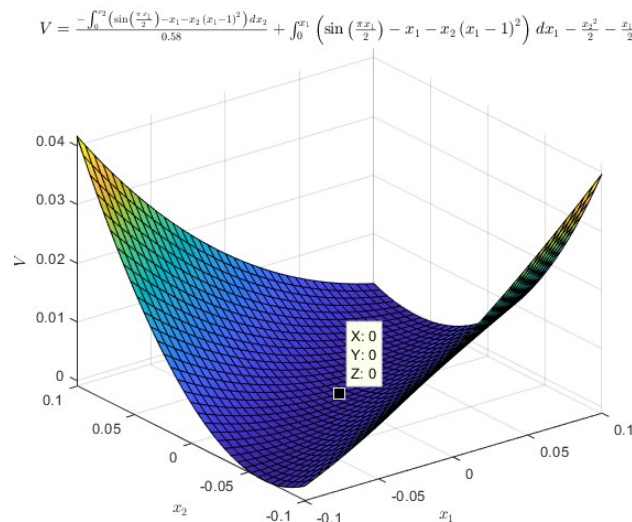


Figura 12: Gráfico de superfície de V em relação a  $x_1$  e  $x_2$



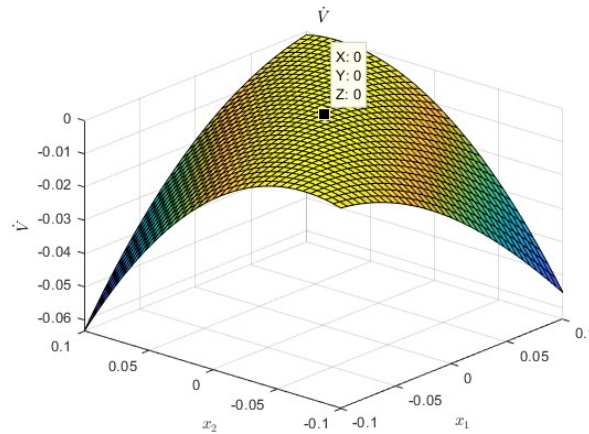


Figura 13: Gráfico de superfície de  $V$  em relação a  $x_1$  e  $x_2$

notar que neste caso as curvas são quase perfeitas, exceto, no caso de um pequeno intervalo em torno de  $x_1 = -0.1$  e  $x_2 \approx -0.06$  em que a função acaba assumindo valores negativos. Já em  $V$  temos a região em  $x_1 = 0.1$  e  $x_2 \approx 0.06$  em que a função assume valores ligeiramente positivos. Variei constantemente os coeficientes mas parece ocorrer uma espécie de relação cruzada entre as funções, se eu torno uma positiva definida no intervalo, a outra se torna mais positiva também e vice-versa, acabando sendo praticamente impossível encontrar um valor exato. Outro problema que me sinto inseguro em afirmar é possível escolher uma região menor em torno do equilíbrio que exclua estes intervalos problemáticos, visto que no MATLAB ao reduzir o intervalo de forma suficiente ele reproduz o problema, a função que aparece é a mesma com valores no eixo-Z um pouco menores a menos. esse foi o mais perto que consegui chegar, como realmente é consideravelmente perto achando expor aqui, mas para não prolongar ainda mais o relatório vou omitir outras funções, bem como os outros pontos. Com este propósito também vou emitir o gradiente variando novamente não fornece equações de simples resolução analítica, ou mesmo computacional, dada a complexidade do sistema.

Com a falha das propostas anteriores, vamos partir para uma linearizada do sistema, afinal ainda temos como aplicar os teoremas de Hartman-Grobman. Vejamos a matriz jacobiana

$$J = \begin{pmatrix} 0 & 1 \\ (2 - 2x_1)x_2^7 + \frac{\pi \cos(\frac{\pi x_1}{2})}{2} - 1 & -7x_1^6(x_1 - 1)^2 \end{pmatrix}$$

$$\Rightarrow J|_{x^*=(0,0)} = \begin{pmatrix} 0 & 1 \\ \frac{\pi}{2} - 1 & 0 \end{pmatrix} \Rightarrow \det(\lambda I - J) = \lambda^2 + \frac{\pi}{2} + 1 = 0 \Rightarrow \lambda = \pm \frac{\sqrt{2} \sqrt{\pi - 2}}{2}$$

$$\Rightarrow J|_{x^*=(1,0)} = J|_{x^*=(-1,0)} = \begin{pmatrix} 0 & 1 \\ -1 & 0 \end{pmatrix} \Rightarrow \det(\lambda I - J) = \lambda^2 + 1 = 0 \Rightarrow \lambda = \pm i$$

Assim é possível verificar que o ponto  $(0, 0)$  apresenta dois autovalores de opostos, indicando que trata-se de uma sela, tanto no sistema linearizado quanto no não linear, os outros dois pontos apresentam autovalores de parte real nula, que impossibilita precisar apenas pelo teorema de Hartman-Grobman. Nestes casos, também, ao tentar utilizar o teorema de Henry-Carr acabamos incorrendo em pares de autovetores L.D. Para analisar de forma os casos vamos utilizar todo o poder da computação para traçar as trajetórias não lineares utilizando o solver diferencial do MATLAB, temos:

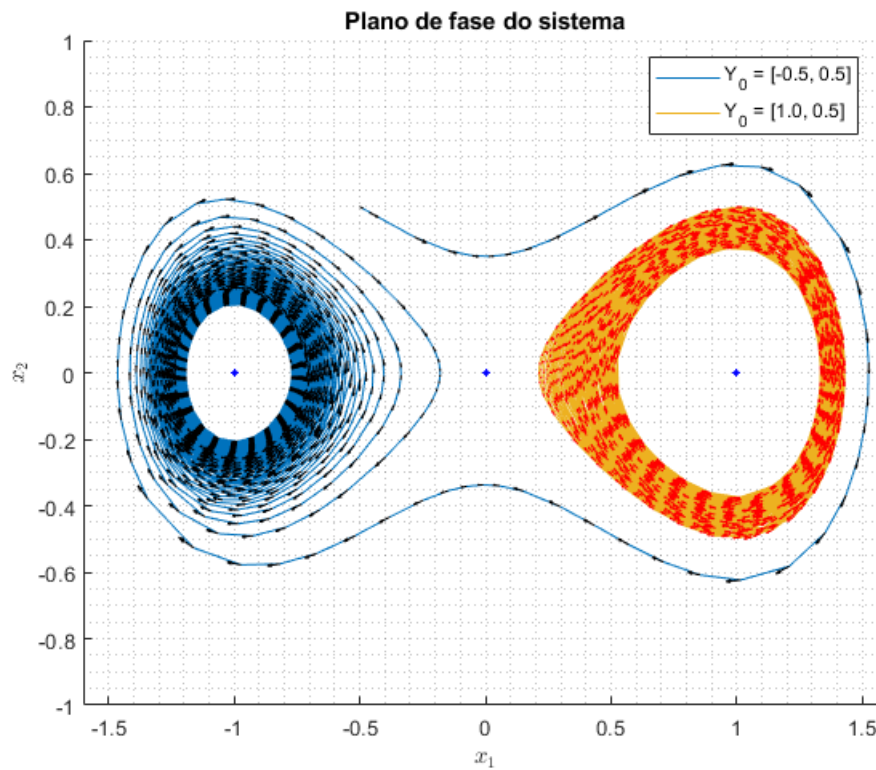


Figura 14: Plano de fase com velocidade de fase para o item 4

Assim podemos visualizar o comportamento de sela do ponto  $(0, 0)$ , mas vemos que os outros pontos aparentam ser assintoticamente estáveis. A primeira simplificação que eles pareciam ser centros ou ciclos limites, mas dado o devido tempo de simulação as trajetórias parecem tender ao equilíbrio. É interessante inferir, pelo gráfico acima, que o ponto  $(1, 0)$  possui um domínio de atração aparentemente maior que dos outros pontos.

## 4 Segundo exercício

$$\begin{cases} \dot{x}_1 = -6x_1 + 2x_2 \\ \dot{x}_2 = 2x_1 - 6x_2 - 2x_2^3 \end{cases}$$

Compare: Estabilidade linearizada vs. método direto de Lyapunov

### 4.1 Solução

A fim de realizar a comparação requisitada, vamos iniciar com a estabilidade linearizada, que é mais simples. Começamos, como sempre, determinando o equilíbrio do sistema:

$$\begin{cases} -6x_1 + 2x_2 = 0 \\ 2x_1 - 6x_2 - 2x_2^3 = 0 \end{cases} \Rightarrow \begin{cases} 3x_1 = x_2 \\ x_1 = 3x_2 + x_2^3 \end{cases} \Rightarrow 8x_2 + 3x_2^3 = 0 \Rightarrow \begin{cases} x_0^* = (0, 0) \\ x_1^* = (\pm \frac{2\sqrt{6}}{9}i, \pm \frac{2\sqrt{6}}{3}i) \end{cases}$$

Vamos considerar apenas que  $\mathbb{R}^2$ , desconsiderando as raízes imaginárias, temos que a origem é o único ponto de equilíbrio. Calculando agora o jacobiano:

$$J = \begin{pmatrix} -6 & 2 \\ 2 & -6x_2^2 - 6 \end{pmatrix}$$

$$\Rightarrow J|_{x^*=(0,0)} = \begin{pmatrix} -6 & 2 \\ 2 & -6 \end{pmatrix} \Rightarrow \det(\lambda I - J) = (\lambda + 6)^2 - 4 = 0 \Rightarrow \lambda = \begin{cases} \lambda_1 = -4 \\ \lambda_2 = -8 \end{cases}$$

Assim podemos analisar que, tanto no sistema linearizado quanto no não linearizado, o equilíbrio é assintoticamente, localmente estável. Assim concluída a análise com o teorema de Hartman-Grobman, vamos analisar o sistema com o teorema de Lyapunov.

Vamos tomar uma candidata função de Lyapunov dada pela função convexa mais simples no  $\mathbb{R}^2$ :

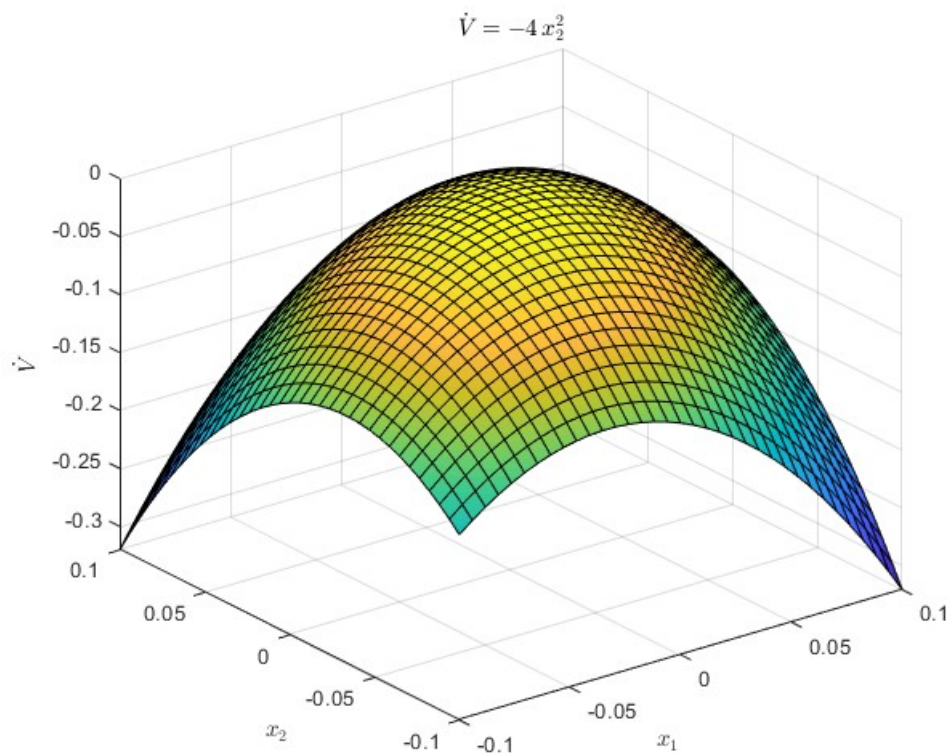
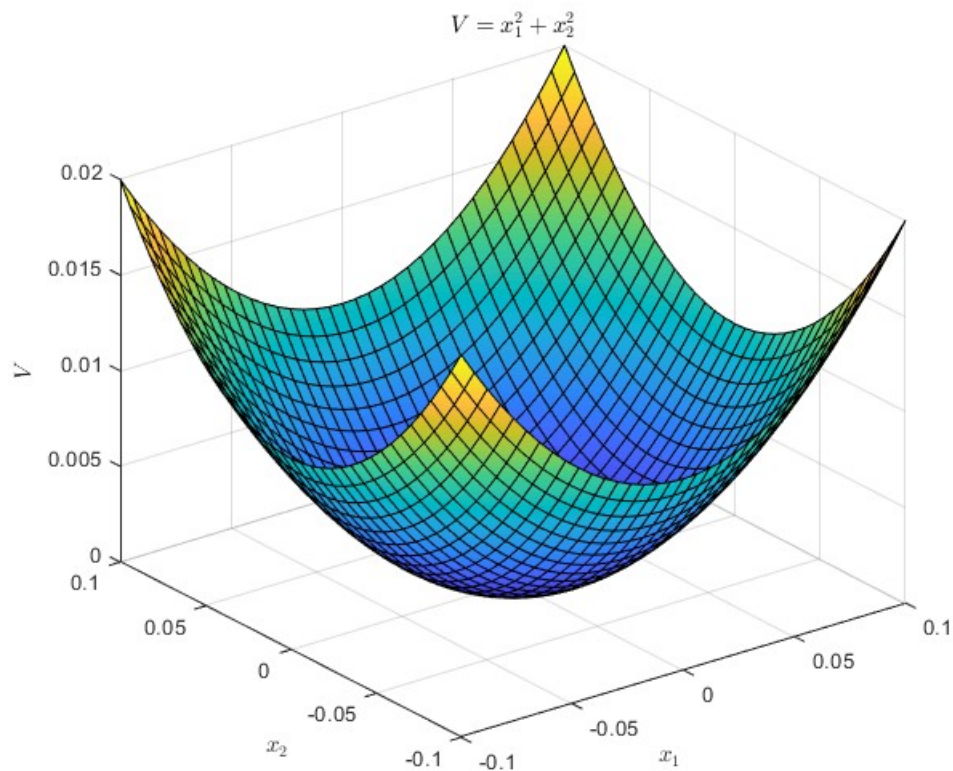
$$V(x) = x_1^2 + x_2^2$$

Temos, portanto, que a  $V(x)$  é positiva definida e ilimitada. Sua derivada tem valor:

$$\dot{V}(x) = 2x_1\dot{x}_1 = 2x_1\dot{x}_2 = -2x_1(2x_1^3 + 6x_1 - 2x_1 - 2x_1(6x_1 - 2x_2)) = -4x_1^4$$

Como o termo  $x_1^4$  é sempre positivo, e como este tem um sinal negativo na frente, podemos dizer que a derivada de nossa candidata é negativa definida e ilimitada, como indicam as imagens abaixo:





Assim, pelo teorema de Lyapunov, podemos dizer que a origem do sistema é globalmente assintoticamente estável. Em comparação, isso relatando sobre todos os eixos, vemos que o teorema de Lyapunov pode fornecer conclusões muito mais fortes que uma análise linearizada, visto que é possível concluir a estabilidade global do ponto, coisa que não é possível fazer

antes. Em contrapartida a análise linearizada é sempre muito simples de ser feita, mesmo analiticamente, enquanto as condições suficientes de Lyapunov tornam a análise possivelmente muito complexa mesmo com o auxílio do computador, principalmente quando o sistema é muito complexo, dificultando o uso de métodos para encontrar uma candidata. É uma verdade que hoje existem pesquisas visando a implementação de redes neurais para a solução dessas funções candidatas.

---

## Grupo Turing

Grupo de Extensão da Universidade de São Paulo (USP)

R turing.usp@gmail.com

/ grupoturing.netlify.com

g facebook.com/grupoturing.usp

□ medium.com/turing-talks

° linkedin.com/company/grupo-turing